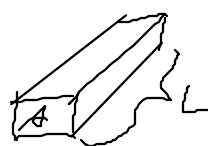


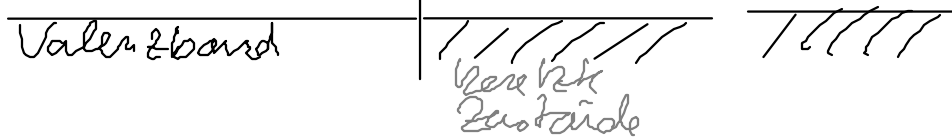
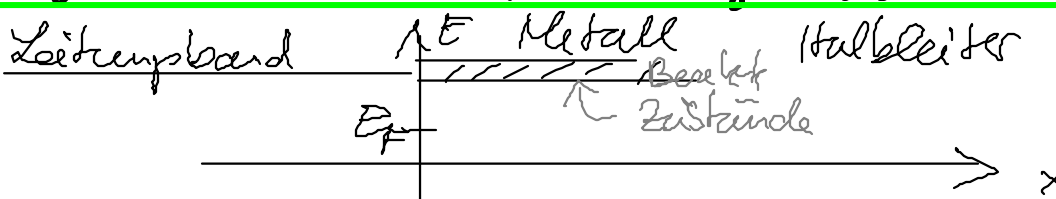
# Übung Fabian Pauly

$$L \rightarrow 0 : g \rightarrow \infty$$

Leitwert  $g = \frac{eA}{L}$



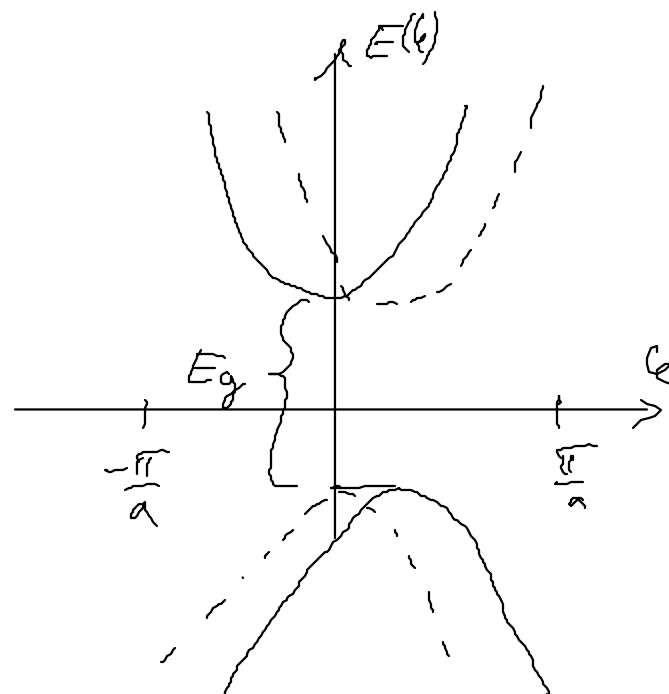
## Modifikation der klassischen Physik in Nanostrukturen



	GaAs	Si
$m_e$	0,067	0,19
$\sigma_f$	40 nS	100 nS
$l_{imp}$	$10^8 - 10^{14}$ nm	$\approx 100$ nm
$L_f$	$200 \text{ nm} \cdot \sqrt{\frac{k}{T}}$	$40 - 400 \text{ nm} \cdot \sqrt{\frac{k}{T}}$

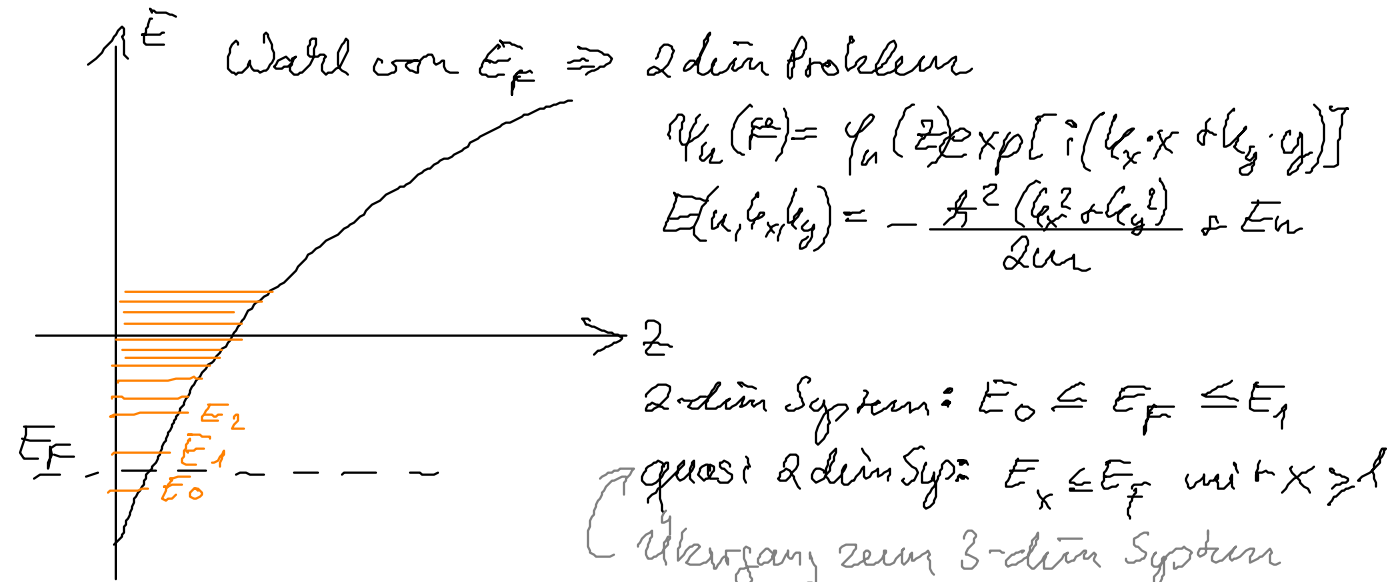
$L_f$  (lokalen Längen)

direkte Lücke	indirekte Lücke



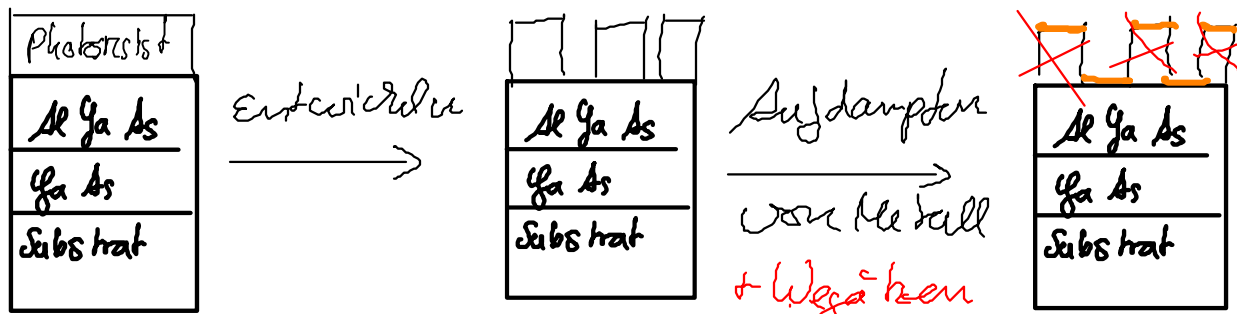
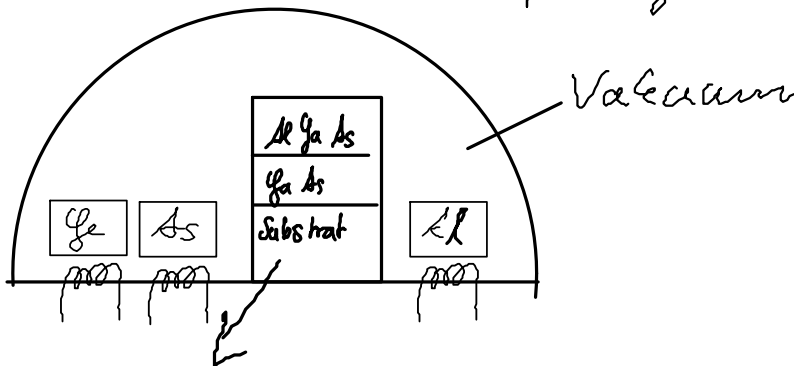
- Enger Raum (gelb) für Elektronen

$\Rightarrow$  Quantisierung des Energieniveaus



## Herstellung eines Systems (Nanostruktur)

- MBE: Nuclear beam epitaxy



Anderer Möglichkeit zur Herstellung von Nanostrukturen

- STM: Manipulation ein einzelner Atome ("scanning tunneling microscope")

## 1.3 Zustandsdichten

$$\epsilon_p = E_0 + \frac{p^2}{2m} \quad (\text{freie Elektronen}) \quad d\epsilon = \frac{p}{m} dp \quad E_0 \geq 0$$

Eine Welle:  $\Psi(x) = e^{ikx}$  Randbed:  $\Psi(L) = e^{ikL} = \Psi(0)$

$$\Rightarrow kL = 2\pi n \quad k = \frac{2\pi n}{L} \Rightarrow \Delta k = \frac{2\pi}{L}$$

$$3D: \int_{-\infty}^{\infty} g(\epsilon_p) = V \cdot \int_{-\infty}^{\infty} \frac{d^3 p}{(2\pi\hbar)^3} g(\epsilon_p) = V \frac{4\pi}{(2\pi\hbar)^3} \int_{-\infty}^{\infty} dp p^2 g(\epsilon_p)$$

$$= V \cdot \int_{-\infty}^{\infty} d\epsilon N(\epsilon) g(\epsilon) \quad g \text{ ist beliebig Funktion abh. von } \epsilon$$

$$N(\varepsilon) = \frac{m}{2\pi^2 \hbar^3} \sqrt{2m(\varepsilon - E_0)} \Theta(\varepsilon - E_0)$$

$$N^{dd}(\varepsilon_F) = \frac{m}{2\pi^2 \hbar^3} p_F^3 \text{ Pauli-Fermi}, \quad n = \frac{4\pi}{3} p_F^3 \frac{\hbar}{(2\pi\hbar)^3}$$

**QD:**

$$\begin{aligned} \sum_p g(\varepsilon_p) &= A \cdot \int_{-\infty}^{\infty} \frac{d^3 p}{(2\pi\hbar)^2} g(\varepsilon_p) = \frac{2\pi A}{(2\pi\hbar)^2} \int_0^{\infty} dp p g(\varepsilon_p) \\ &= \frac{A}{2\pi\hbar^2} \int_{E_0}^{\infty} \frac{d\varepsilon}{\rho} \frac{m}{2\pi\hbar^2} \delta(\varepsilon - E) g(\varepsilon) = A \int_0^{\infty} \underbrace{\frac{m}{2\pi\hbar^2} \delta(\varepsilon - E_0)}_{N^{dd}(\varepsilon)} g(\varepsilon) \\ &= A \int_0^{\infty} d\varepsilon N^{dd}(\varepsilon) g(\varepsilon) \end{aligned}$$

$$N(\varepsilon) = \frac{n}{2\pi\hbar^2} \cdot \Theta(\varepsilon - E_0), \quad n = 4\pi p_F^2 \frac{\hbar}{(2\pi\hbar)^2} = \frac{\hbar}{\pi\hbar^2} p_F^2$$

**1D:**

$$\sum_p g(\varepsilon_p) = L \cdot \int_{-\infty}^{\infty} \frac{dp}{2\pi\hbar} g(\varepsilon) = L \int_0^{\infty} d\varepsilon N^{dd}(\varepsilon) g(\varepsilon)$$

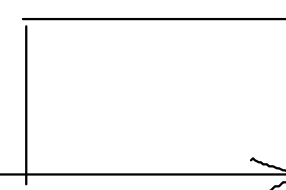
$$N^{dd}(\varepsilon) = \frac{2}{2\pi\hbar} \frac{1}{\frac{d\varepsilon}{dp}} = \frac{n}{\pi\hbar} \frac{1}{\sqrt{2m\varepsilon}} \Theta(\varepsilon - E_0)$$

Zustandsdichten:

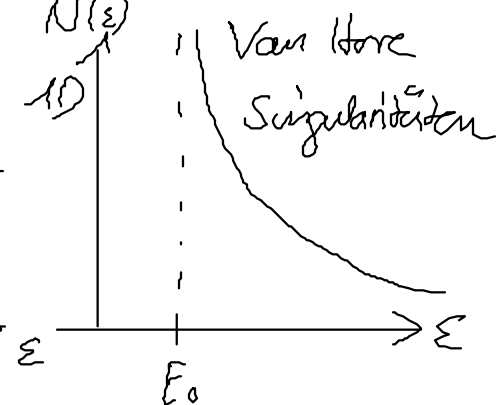
$$3D \uparrow N(\varepsilon)$$



$$2D \uparrow N(\varepsilon)$$



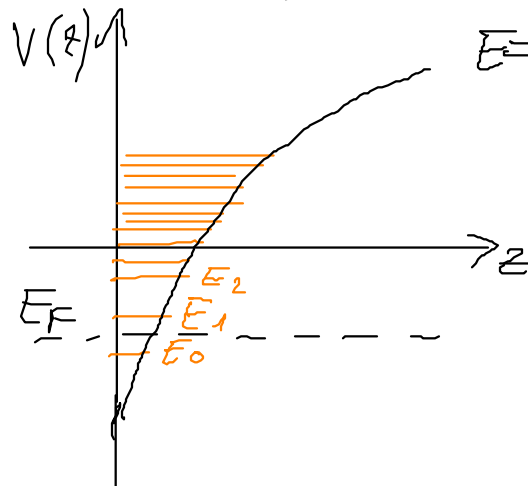
$$1D \uparrow N(\varepsilon)$$



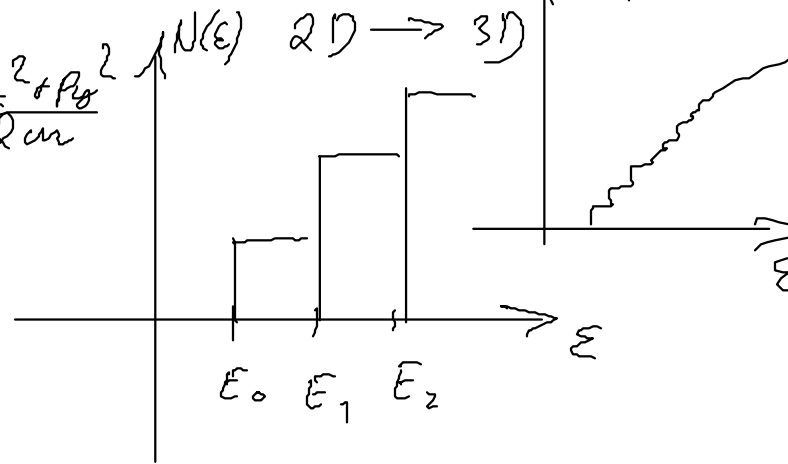
allgemeine Perspektive Zustandsdichte

$$N(\varepsilon) = \sum_n \int \frac{d^d k}{(2V)^d} \delta(\varepsilon - \varepsilon_n(k)) \quad d: \# \text{ Dimensionen}$$

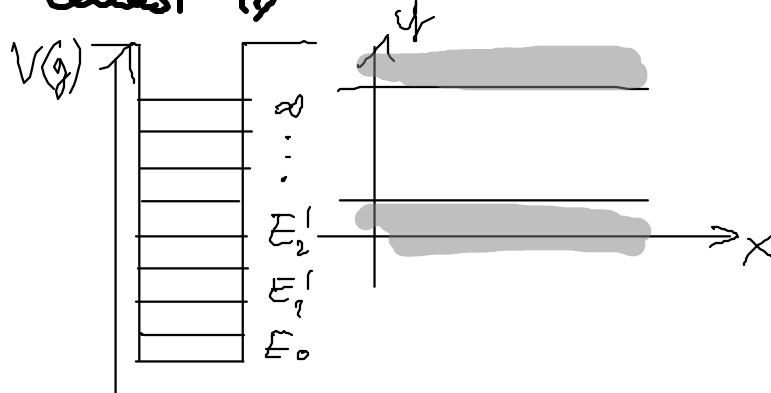
zurast 2D



$$E = E_{\text{ext}} + \frac{p_x^2 + p_y^2}{2m}$$



## Quasi 1D



$$\psi(\vec{r}) = \varphi_0(z) \chi_n(y) e^{i k_x x}$$

$$E = E_0 + E_n^1 + \frac{\hbar^2 k_F^2}{2m}$$

## 1.4 Leitfähigkeit

$\sigma = \sigma_{\text{EE}}$  zeit und seitensabhängig

$$f(q, \omega) = \hat{\sigma}(q, \omega) \hat{E}(q, \omega)$$

Faltungstheorem:  $f(\omega) = \hat{\sigma}(\omega) \hat{E}(\omega)$

$$f(t) = \int \frac{dt''}{2\pi} \hat{\sigma}(t-t'') \hat{E}(t'')$$

$$f(t) = \int \frac{d\omega}{2\pi} f(\omega) e^{i\omega t}$$

$$f(\omega) = \int \frac{dt}{2\pi} f(t) e^{-i\omega t}$$

## 1.4.1 Druck-Leitfähigkeit

$$j = nev, \quad l = v \cdot \tau$$

(l zwischen 2 Stoffen)

$$\dot{p} = m \dot{v} = eE - \frac{e}{\tau} v$$

l: mittlere freie Weglänge

$$j = \frac{ne^2 \tau}{m} E$$

n: Elektronendichte

$$G_0 = \frac{ne^2 c}{m} (\text{DC Gleichspannung}) \quad v: \text{Elektronengeschwindigkeit}$$

$$f(\omega) = \frac{ne^2}{m(\frac{1}{\tau} + i\omega)} E(\omega) (\text{Wechselsp.})$$

$$\Omega(\omega) = \frac{ne^2 c}{m(1+i\omega c)}$$

## 1.5 Boltzmann

Verteilungsfkt.  $f(E, p, t)$   $\mu$ : chemisches Potential

$$\text{Gleichgewicht: } f(E_p) = \frac{1}{\exp[\frac{E_p - \mu}{k_B T}] + 1}$$

$$\bar{n}(E, t) \propto \sum_{p_0} f(E, p_0, t)$$

$$g(E, p, t) \propto \sum_{p_0} V f(E, p_0, t)$$

$$V = \sum_p E_p \quad (\text{Gruppengeschwindigkeit})$$

$$\frac{df(\mathbf{r}, \mathbf{p}, t)}{dt} = \frac{\partial f}{\partial t} + \frac{\partial \mathbf{p}}{\partial t} \cdot \nabla_{\mathbf{p}} f + \frac{\partial \mathbf{p}}{\partial t} \cdot \frac{\partial f}{\partial \mathbf{p}} = \frac{\partial f}{\partial t} + \frac{\mathbf{p}}{m} \cdot \nabla_{\mathbf{r}} f + \frac{e}{m} \nabla_{\mathbf{r}} \cdot f$$

$\hookrightarrow$  Collisionsterm

$$\left( \frac{\partial}{\partial t} + \frac{\mathbf{p}}{m} \cdot \nabla_{\mathbf{r}} + e \mathbf{E} \cdot \nabla_{\mathbf{p}} \right) f = \frac{df}{dt}_{\text{coll}}$$

Boltzmann-Gleichung  
Faws - rein Stoßende

Beispiel: Stoßwellenstruktur

$$\begin{aligned} \left( \frac{\partial f}{\partial t} \right)_{\text{imp}} &= -v_F \underset{\substack{\text{geschr. an Fermi-Energie} \\ \text{Wimp}}}{} \int d\omega_p \cdot \overline{\sigma(\Omega_{pp'}^{\text{coll}})} \cdot \left( f(p) - f(p') \right) \Big|_{\varepsilon_p' = \varepsilon_p} \\ &= -\frac{1}{\tau_{\text{imp}}} f(p) + v_F \int d\omega_{p'} \cdot \overline{\sigma(\Omega_{pp'}^{\text{coll}})} f(p') \Big|_{\varepsilon_p' = \varepsilon_p} \end{aligned}$$

$$(\tau_{\text{imp}})^{-1} = v_F \cdot \int d\omega_{p'} \overline{\sigma(\Omega_{pp'})}$$

S-Wellenstruktur:  $\overline{\sigma(\omega)} = \text{const}$

$$\left( \frac{\partial f}{\partial t} \right) = -\frac{1}{\tau_{\text{imp}}} \left( f(p) - \langle f(p') \rangle \right), \quad \langle f(p') \rangle = \int \frac{d\omega}{4\pi} p'^3 f(p')$$

$\hookrightarrow$  Relaxationsapproximation